

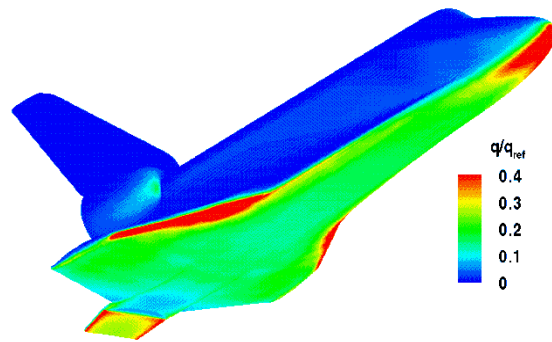
SIAE - 2013

C11 – C12

Couche limite compressible*

(sur la base des cours de J. Délery et J. Cousteix)

*: ENSICA pp23-52





Structure du cours

1. Equations de base;
2. Méthodes de base;
3. *Information*: méthodes exactes de couche limite*;

* : Pas dans les polycopiés

1. Equations de base (1) : formalisme de couche limite aux grands nombres de Reynolds

continuité



$$\frac{\partial \rho}{\partial t} + \frac{\partial(\rho u)}{\partial x} + \frac{\partial(\rho v)}{\partial y} = 0$$

mouvement



$$\frac{\partial(\rho u)}{\partial t} + \rho u \frac{\partial u}{\partial x} + \rho v \frac{\partial u}{\partial y} = - \frac{\partial p}{\partial x} + \frac{\partial \tau}{\partial y}$$



$$\frac{\partial p}{\partial y} = 0$$

énergie



$$\frac{\partial(\rho h)}{\partial t} + \rho u \frac{\partial}{\partial x} \left(h + \frac{u^2}{2} \right) + \rho v \frac{\partial}{\partial y} \left(h + \frac{u^2}{2} \right) = \frac{\partial}{\partial y} (u \tau - \Phi)$$

1. Equations de base (2) : formalisme de couche limite aux grands nombres de Reynolds

frottement

$$\tau = \mu \frac{\partial u}{\partial y}$$

flux de chaleur

$$\Phi = -\lambda \frac{\partial T}{\partial y} = -\frac{\lambda}{C_p} \frac{\partial h}{\partial y}$$

nombre de Prandtl

$$P_r = \frac{\mu C_p}{\lambda}$$

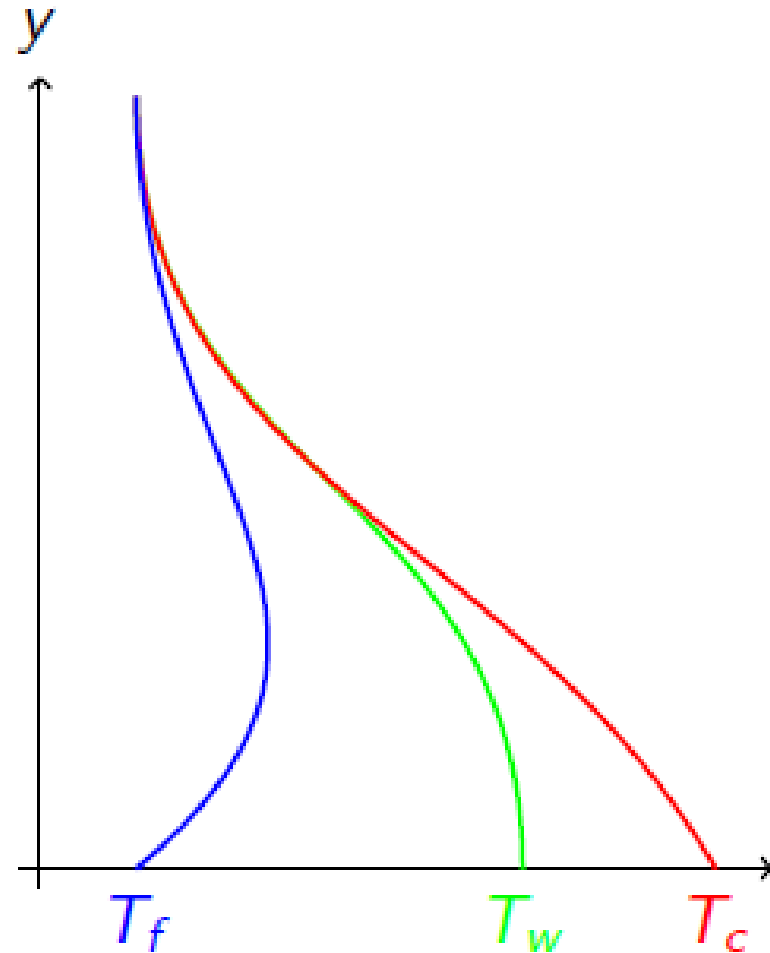
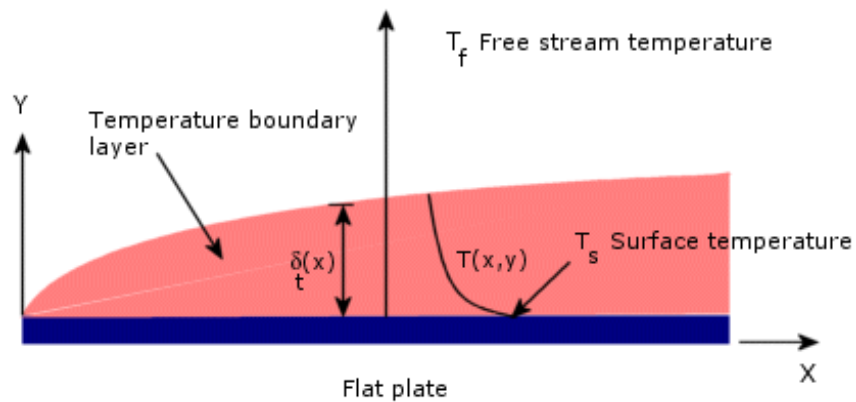
(pour l'air $P_r = 0,72$)



$$\Phi = -\frac{\mu}{P_r} \frac{\partial h}{\partial y}$$

$$\frac{\mu}{\mu_r} = \left(\frac{T}{T_r} \right)^{3/2} \frac{T_r + s}{T + s}$$

1. Equations de base (3) : couche limite thermique



1. Equations de base (4) : écoulements turbulents

frottement et flux de chaleur turbulents apparents

frottement

$$\tau_t = -\overline{\rho \mathbf{u}' \mathbf{v}'}$$



$$\tau_T = \tau_l + \tau_t = \mu \frac{\partial \bar{u}}{\partial y} - \overline{\rho \mathbf{u}' \mathbf{v}'}$$

flux de chaleur

$$\Phi_t = \mathbf{C}_p (\overline{\rho \mathbf{u}' T'})$$



$$\Phi_T = \Phi_l + \Phi_t = -\lambda \frac{\partial \bar{T}}{\partial y} + \mathbf{C}_p (\overline{\rho \mathbf{u}' T'})$$

1. Equations de base (5) : grandeurs intégrales

Coefficient de frottement pariétal

$$\tau_p = \mu_p \left(\frac{\partial \mathbf{u}}{\partial \mathbf{y}} \right)_p$$



$$C_f = \frac{\tau_p}{\frac{1}{2} \rho_0 V_0^2}$$

Coefficient de flux de chaleur pariétal

$$\Phi_p = - \frac{\lambda}{C_p} \left(\frac{\partial h_l}{\partial \mathbf{y}} \right)_p$$



$$S_t = \frac{\Phi_p}{\rho_e u_e (h_p - h_f)}$$

nombre de Stanton

Φ_p : flux de chaleur à la paroi

h_f : enthalpie de frottement
ou d'équilibre adiabatique

1. Equations de base (6) : grandeurs intégrales (Polycopié ENSMA pp70-74)

$$\delta_1 = \delta^* = \int_0^\delta \left(1 - \frac{\rho u}{\rho_e u_e} \right) dy$$

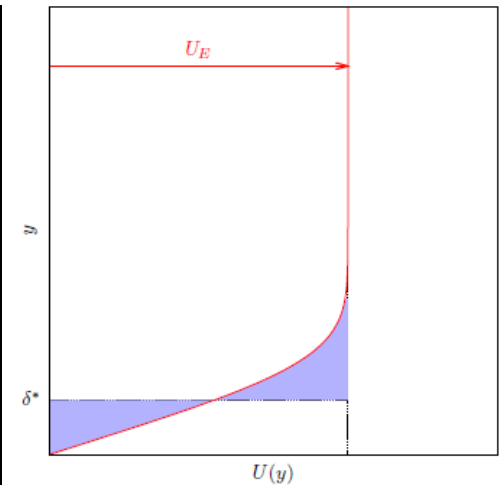
épaisseur de
déplacement

$$\delta_2 = \theta = \int_0^\delta \frac{\rho u}{\rho_e u_e} \left(1 - \frac{u}{u_e} \right) dy$$

épaisseur de
quantité de
mouvement

$$\delta_3 = \Delta = \int_0^\delta \frac{\rho u}{\rho_e u_e} \left(\frac{h_t}{h_{t_e}} - 1 \right) dy$$

épaisseur
d'énergie



Facteur de forme: $H = \frac{\delta^*}{\theta}$

2. Méthodes de base (1) : méthode intégrale

- On peut intégrer sur l'épaisseur de couche limite l'équation de quantité de mouvement longitudinal (ici 2D, axisym.):

$$\frac{C_f}{2} = \frac{d\theta}{dx} + \theta \left[\frac{H+1}{u_e} \frac{du_e}{dx} + \frac{d}{dx} \log(\rho_e u_e r) \right]$$

- De la même manière, on intègre l'équation de l'énergie:

$$\frac{q_p}{\rho_e u_e h_{te}} = \frac{d\Delta}{dx} + \Delta \frac{d}{dx} \log[\rho_e u_e r]$$

2. Méthodes de base (2) : méthode intégrale

- Plusieurs méthodes mais la plus simple – comme en incompressible- est de considérer des profils semi-empiriques pour la vitesse *et* la température:

Blasius en laminaire et $\frac{u}{u_e} = \left(\frac{y}{\delta} \right)^{1/7}$ en turbulent!

Et $T - T_p = (T_f - T_p) \frac{u}{u_e} + (T_f - T_p) \left(\frac{u}{u_e} \right)^2$ avec

$$T_f = T_e \left(1 + r \frac{\gamma - 1}{2} M_e^2 \right) = T_e + r \frac{u_e^2}{2C_p} \quad \text{et} \quad r = \sqrt[3]{Pr}$$



2. Méthodes de base (3) : méthode intégrale

- Le profil de densité est déduit de l'hypothèse $p(x,y) = p(x)$ (2D), soit:

$$\frac{\rho}{\rho_e} = \frac{T_e}{T}$$

- Et donc, après intégration, on obtient les épaisseurs en jeu, et suit une estimation du facteur de forme en fonction des paramètres d'écoulement:

$$H = 1.4 + 0.4M_e^2 + 1.22 \frac{T_p - T_f}{T_e} \quad \text{pour } \gamma = 1.4$$

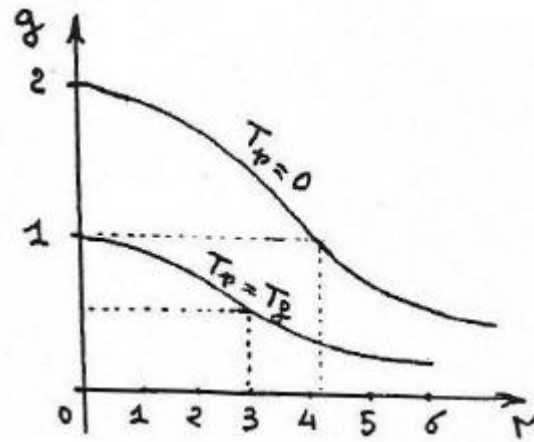
2. Méthodes de base (4) : méthode intégrale

- Finalement, on a besoin d'une solution exacte (laminaire) ou empirique (turbulent) pour le frottement:

$$C_f = \frac{0.0172}{\left(\frac{\rho_e u_e \theta}{\mu_e} \right)^{1/5}} g \left(M_e, \frac{T_p}{T_f} \right)$$

(turbulent ici!)

- Avec:





2. Méthodes de base (2) : méthode de la méthode de température de référence

- Le point de départ est constitué par les résultats en régime incompressible (ici, dans le cas laminaire):

$$C_f = \frac{0,664}{\sqrt{Re_x}} \text{ ou encore } \frac{2\tau_p}{\rho_\infty U_\infty^2} = \frac{0,664}{\sqrt{\frac{\rho_\infty U_\infty x}{\mu}}}$$

- Proposition: trouver une température, dite de référence, (utilisée uniquement pour la densité et la viscosité) telle que l'on peut transposer le résultat incompressible:

$$\frac{2\tau_p}{\rho^* U_\infty^2} = \frac{0,664}{\sqrt{\frac{\rho^* U_\infty x}{\mu^*}}}$$



2. Méthodes de base (3) : méthode de la méthode de température de référence

- Dans une très large gamme de nombre de Mach, de températures, l'expression suivante offre les meilleurs résultats

$$T^* = T_{\infty} + 0,54(T_p - T_{\infty}) + 0,16(T_{ad} - T_{\infty})$$

- Finalement:

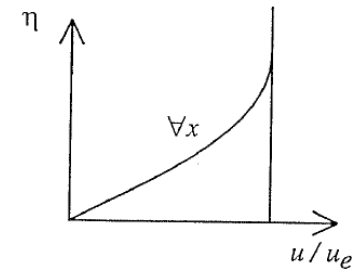
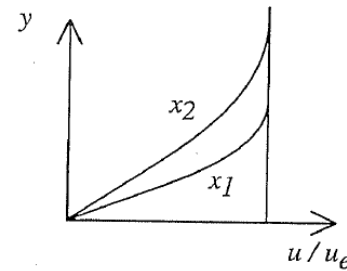
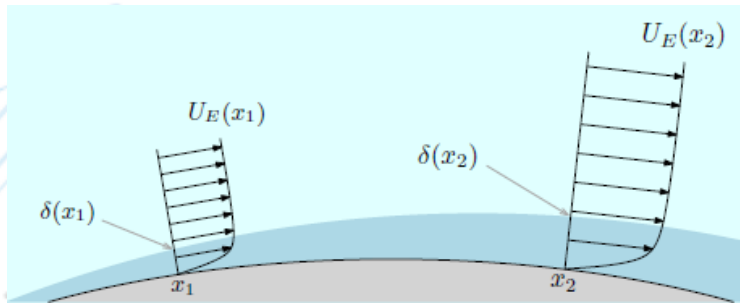
$$C_f = \frac{0,664}{\sqrt{Re_x}} \left(\frac{\rho^* \mu^*}{\rho_{\infty} \mu_{\infty}} \right)^{1/2} g \left(M_e, \frac{T_p}{T_f} \right)$$

- La même méthodologie peut être appliquée au régime turbulent.
- Enfin, on applique la notion d'analogie de Reynolds qui suggère un lien entre frottement et transfert de chaleur:

$$St = s \frac{C_f}{2}$$

3. Méthodes exactes de couche limite laminaire (1) : recherche de solution auto-semblables

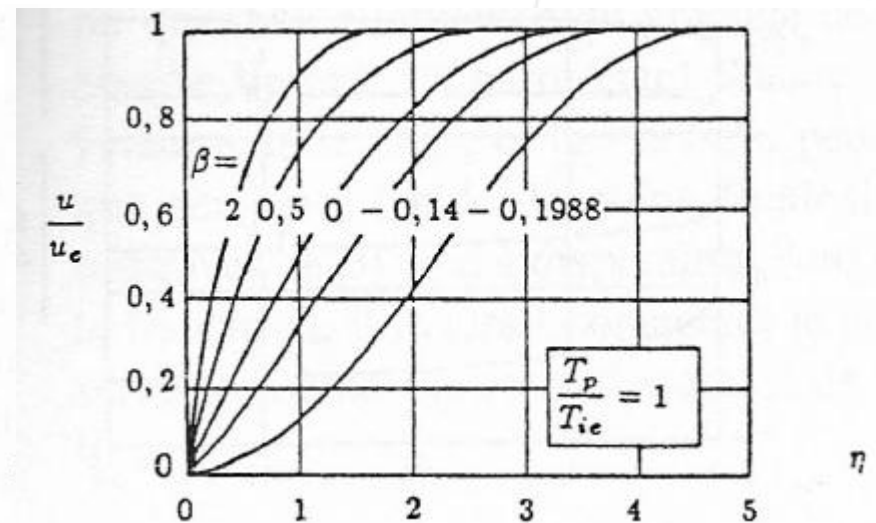
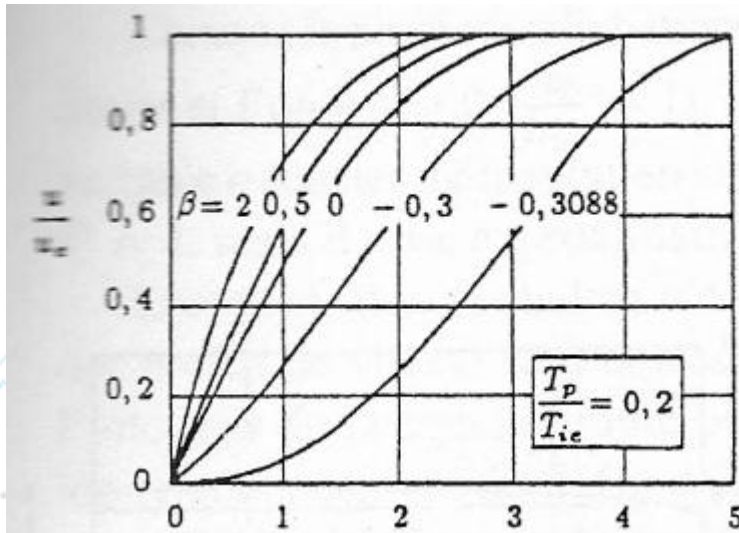
- Utilisation d'une transformation (Stewartson) afin de retrouver une forme incompressible:
- On recherche une solution auto-semblable de la forme:



$$u_e \propto x^m \text{ ou } M_e \propto x^m, \text{ avec } \beta = \frac{2m}{m+1}$$

Résultats exacts pour $Pr=1$ et loi de viscosité linéaire.

3. Méthodes exactes de couche limite laminaire (2) : recherche de solution auto-semblables



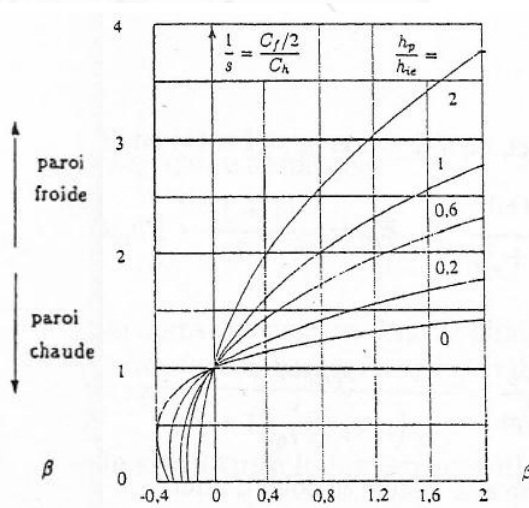
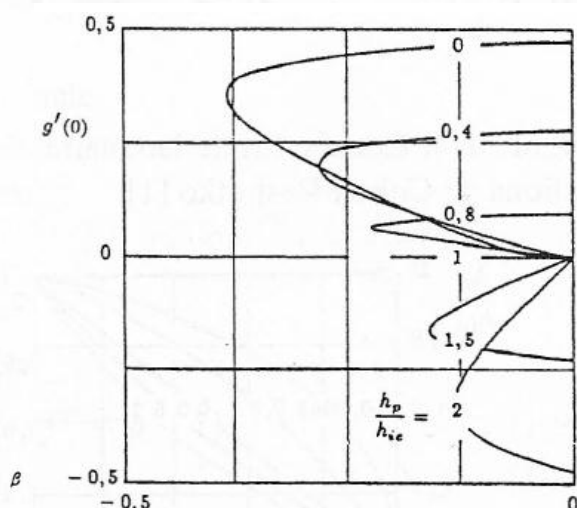
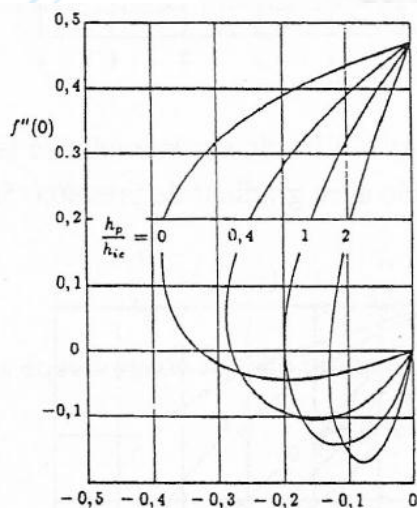
- Sur une paroi froide, la *couche limite laminaire décolle plus difficilement*.

3. Méthodes exactes de couche limite laminaire (3) : recherche de solution auto-semblables

➤ Impact sur les coefficients pariétaux et d'analogie:

$$\frac{C_f}{2} = \frac{\tau_p}{\rho_e u_e^2} = \alpha f''(0) \left(\frac{\rho_p \mu_p}{\rho_e \mu_e} \right)^{1/2} \left(\frac{\rho_e u_e x}{\mu_e} \right)^{-1/2}$$

$$C_h = \frac{\phi_p}{\rho_e u_e (h_p - h_{ie})} = -\alpha \frac{g'(0)}{g(0)} \left(\frac{\rho_p \mu_p}{\rho_e \mu_e} \right)^{1/2} \left(\frac{\rho_e u_e x}{\mu_e} \right)^{-1/2}$$



3. Méthodes exactes de couche limite laminaire (4) : similitude locale

- Pour Pr différent de 1 et loi de viscosité non linéaire, pas de solution de similitude stricte: recourt à la similitude locale – transformation de Levy-Lees-Dorodnitsyn / Mangler

$$\phi_p = -\frac{\rho_p \mu_p}{\mathcal{P}} \frac{u_e R^j}{(2\xi)^{1/2}} h_{ie} g'(0) \quad \text{et}$$

$$\frac{\phi_p}{\phi_{p0}} = \frac{\rho_p \mu_p u_e R^j}{\left[2\xi \left(\rho_p \mu_p \frac{du_e}{dx} \right)_0 (1+j) \right]^{1/2}}$$

